

بهینه سازی و بررسی سینتیک فرایند ازن زنی در حذف رنگزا در راکتور استوانه‌ای توسط روش سطح پاسخ

محمد قالبی زاده^۱، بیتا آیتی^{۲*}

۱. دانشجوی دکتری مهندسی عمران و محیط زیست - دانشگاه تربیت مدرس
۲. دانشیار دانشکده مهندسی عمران و محیط زیست - دانشگاه تربیت مدرس

ayati_bi@modares.ac.ir

تاریخ پذیرش: ۱۴۰۰/۰۳/۲۰ تاریخ دریافت: ۹۹/۰۲/۱۳

چکیده

هدف از این تحقیق بررسی آثار همزمان پارامترهای موثر بر فرایند ازن زنی و بهینه‌سازی آن در حذف رنگزا اسید اورانژ ۷ به منظور دست‌یابی به بالاترین راندمان حذف برای بیشترین غلظت اولیه ممکن رنگزا در شرایط کمترین نرخ تزریق ازن، کمترین تغییر در pH طبیعی رنگزا و کوتاهترین زمان واکنش از طریق روش سطح پاسخ بود. ضریب همبستگی و ضریب همبستگی تعديل شده به ترتیب ۸۵/۸۶ و ۹۶/۹۲ و ضریب ارزش p برای مدل (کمتر از ۰/۰۰۰۱) و عدم برازش (۰/۰۵۰۷) به ترتیب با اهمیت و بدون اهمیت بدست آمد که نشان از پیوستگی و اطمینان بالای نتایج بدست آمده بود. پس از انجام آزمایشات، راندمان حذف بالای ۹۰ درصدی رنگزا برای غلظت اولیه رنگزا برابر ۴۸۰ میلیگرم بر لیتر در pH برابر ۷/۷ نرخ ازن تزریقی ۰/۶ لیتر در دقیقه پس از ۶۰ دقیقه حاصل شد. تحت شرایط مذکور واکنش از نرخ شبه مرتبه اول تبعیت می‌کرد و نرخ آن ۰/۰۶۰۷ بدست آمد. در این تحقیق همچنین مشاهده شد که موثرترین فاکتورها به ترتیب نرخ ازن تزریقی، زمان، pH و غلظت رنگزا هستند. نتایج بدست آمده نشان داد که تعیین دامنه‌های مناسب می‌تواند در دستیابی به نتایج مطلوب از اهمیت بالایی برخوردار باشد. همچنین فرایند ازن زنی قادر به تصفیه رنگزا با غلظت‌های اولیه بالا با راندمان حذف بالا است که نشان دهنده قدرت بالای این فرایند کاربردی در تجزیه ترکیبات پیچیده آلتی است.

واژگان کلیدی: روش سطح پاسخ، روش CCD، ازن زنی، سینتیک، اسید اورانژ ۷.

رنگرزی به فاضلاب تبدیل می‌شوند [۱, ۲] که به دلیل حضور

حلقه‌های آروماتیک در ساختار آنها جزو فاضلاب‌های سمی، سرطانزا و جهش‌زا به شمار می‌روند [۳] همین مساله موجب

-۱ مقدمه

در حال حاضر از میان ۷۳۵ هزار تن رنگزا تولیدی در سال حدوداً ۱۴۶ هزار تن آن در صنایع مختلف مانند نساجی و

انتخابی است. هر چند ممکن است رادیکال هیدروکسیل در اثر ترکیب مجدد از بین بروود و زنجیره واکنش‌ها را با اختلال مواجه سازد [24]. از جمله مزایای استفاده از ازن می‌توان به عدم تولید لجن، رنگردایی مناسب، از بین بردن همزمان ترکیبات آلی مختلف، گند زدایی فاضلاب، افزایش قابلیت تصفیه بیولوژیکی، عدم نیاز به مواد شیمیایی افروزدنی، تبدیل ازن مازاد به اکسیژن و قابلیت پیاده‌سازی آسان در صنایع اشاره کرد [25-29]. در سال‌های اخیر، تحقیقاتی در زمینه بکارگیری از ازن به منظور تصفیه فاضلاب رنگی انجام شده که در ادامه به برخی موارد اشاره می‌شود: Tehrani Bagha و همکاران (۲۰۱۰) به تجزیه رنگزای سخت تجزیه پذیر راکتیو آبی ۱۹ با غلظت اولیه ۸۰۰ میلی گرم بر لیتر در حجم ۱ لیتر با بکارگیری فرایند ازن زنی پرداختند که پس از ۴۵ دقیقه ازن زنی با غلظت ۵۵ گرم بر متر مکعب، رنگرا به طور کامل حذف شد و پس از ۹۰ دقیقه راندمان COD و TOC به ترتیب به ۵۵ و ۱۷ درصد رسید [25]. Sharma و همکاران (۲۰۱۳) موفق به تصفیه کامل رنگزای راکتیو قرمز ۱۳۵ با فرایند ازن زنی به نرخ ۰/۴۵ گرم در ساعت، غلظت اولیه آلاینده ۱۵۰۰ میلی گرم بر لیتر در راکتوری ستونی به حجم ۱/۵ لیتر در ساعت پس از ۶۰ دقیقه شد. راندمان COD بدست آمده در شرایط مذکور ۵۶ درصد بود [26]. Venkatesh و همکاران (۲۰۱۶) تأثیر فرایند ازن زنی با نرخ ۵ گرم بر ساعت را بر راندمان حذف ۵۰۰ میلی لیتر رنگزای قرمز کونگو با غلظت اولیه ۱۵۰۰ میلی گرم بر لیتر در راکتور ناپیوسته استوانه‌ای با حجم ۹/۲ مفید ۵۰۰ میلی لیتر، ارتفاع ۶۰ سانتی متر و قطر داخلی ۲ سانتی متر بررسی کردند که پس از ۲۵ دقیقه حدوداً ۹۰ درصد رنگرا حذف شد [23]. Agarwal و همکاران (۲۰۱۶) به بررسی تصفیه فاضلاب حاوی رنگ‌های ناشی از فعالیت‌های تهیه کاغذ‌های رنگی و کارت‌های عروسی پرداختند. در این تحقیق که راندمان حذف رنگزاهای مستقیم قرمز و آبی با غلظت ۵۰ میلی‌گرم بر لیتر برای حجم فاضلاب سنتزی ۲۰۰ میلی لیتر مورد بررسی قرار گرفت، مشاهده شد که رنگزاهای مذکور به ترتیب پس از ۶ و ۴ دقیقه تجزیه شدند. سایر ویژگی‌های شرایط بهینه شامل $pH=10$, $L/min=2$ نرخ تزریق ازن (با درصد وزنی ۱۵٪)

شده تا توجه زیادی به تصفیه اینگونه ترکیبات جلب شود [4-6]. فرایندهای اکسیداسیون پیشرفتی از جمله روش‌های موثر مورد استفاده در این زمینه است [7]. در این روش‌ها برخلاف فرایندهای فیزیکی مانند انعقاد و لخته سازی، اسمز معکوس و استفاده از جاذب‌ها، مواد آلی تجزیه شده و فقط از حالتی به حالت دیگر تبدیل نمی‌شوند [8-12]. همچنین برخلاف فرایندهای بیولوژیکی میزان سمیت فاضلاب تاثیری بر عملکرد این فرایندها ندارد [13]. ازن یک اکسید کننده و گندزدای قوی است که در اثر تجزیه متوالی به ترکیبات غیرآلی [14] و می‌تواند بسیاری از ترکیبات آلی و برخی ترکیبات غیرآلی را به ترکیبات ساده‌تر تبدیل کند [15, 16]. ازن در محیط‌های آبی به دو صورت اکسیداسیون مستقیم [17] و غیرمستقیم از طریق تولید رادیکال‌های هیدروکسیل ترکیبات آلی را از بین می‌برد [18]. پتانسیل اکسیداسیون ازن و رادیکال هیدروکسیل به ترتیب ۲/۰۷ و ۲/۸ ولت است [19] که نشان از توان بالای تجزیه ترکیبات آلی دارد. همچنین مولکول ازن توانایی انتخابگری بسیار بالایی در اکسیداسیون ترکیبات دوگانه و سه‌گانه دارد [20, 21]. از این رو این فرایند، قابلیت بالایی در حذف آلاینده‌های آلی و ترکیبات با پیوند دوگانه مانند ترکیبات آروماتیک، رنگزراها و ترکیبات با گروه‌های عاملی از خود نشان داده است [19, 22]. ساز و کار ساده تجزیه مولکول‌های ازن به سایر اکسید کنندها در واکنش‌های ۱ تا ۶ ارائه شده است [23].



بر اساس این ساز و کار در صورتی که واکنش ازن به صورت مستقیم قادر به تجزیه آلودگی نباشد، افزایش pH به حالت قلیایی و تولید رادیکال هیدروکسیل موجب افزایش نرخ تجزیه آلاینده خواهد شد. واکنش رادیکال‌های هیدروکسیل با مولکول‌های ترکیبات آلی و غیرآلی سریعتر و برخلاف مولکول ازن غیر

بکارگیری یک دبی سنج تنظیم می‌شد. به منظور رعایت اینمی، کلیه آزمایشات در زیر هود انجام گرفت. راندمان حذف رنگرا اسید اورانژ ۷ با استفاده از دستگاه اسپکتروفوتومتر و قرائت میزان جذب در طول موج حداکثری اسید اورانژ ۷ (۴۸۵ nm) بر اساس رابطه (۷) اندازه‌گیری شد که در آن C_0 و C به ترتیب غلظت رنگزای اولیه و در زمان مدنظر هستند.

$$(7) \quad \frac{C_0 - C}{C_0} \times 100 = \text{راندمان حذف رنگرا} (\%)$$

شکل ۱. شماتیک و جزئیات راکتور

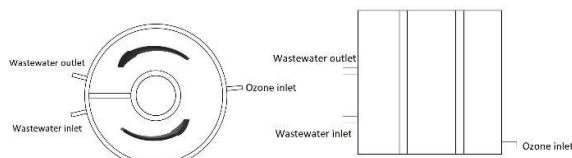


Fig. 1. Schematic and detail of reactor

۲-۳- طراحی آزمایش با روش سطح پاسخ

در این تحقیق به منظور دست‌یابی به شرایط بهینه از روش سطح پاسخ^(۱) برای طراحی آزمایشات استفاده شد. RSM یک شاخه مهم در طراحی تجربی و ابزاری کارآمد به منظور توسعه فرایندها، بهینه سازی آنها و بهبود طراحی فرایند به شمار می‌رود. با استفاده از این روش می‌توان آثار و رابطه هم‌زمان بین پارامترهای فرایند را ارزیابی کرد و بیشینه راندمان قابل دست‌یابی تحت شرایط مختلف را مشاهده و بکارگرفت. نرم افزار Design Expert 7 برای بهینه سازی تجزیه رنگزای اسید اورانژ ۷ مورد استفاده قرار گرفت که محدوده پارامترها و آزمایشات آن بر اساس مطالعات قبلی، محدودیت‌های آزمایشگاهی و تست‌های اولیه تعیین که در جدول ۱ انتخاب شد. همانطور که از جدول (۱) مشخص است در این مطالعه از روش ۵ سطحی نقطه مرکزی (CCD) استفاده شد و تاثیر چهار پارامتر pH، زمان، غلظت اولیه رنگزا و نرخ تزریق ازن بر راندمان حذف رنگز در نظر گرفته شد. نرم افزار ۳۰ آزمایش طراحی کرد که مشخصات و نتایج آن در جدول (۲) ارائه شده است.

کل گاز تزریقی) گزارش شد [30]. کلیه تحقیقات صورت گرفته در این زمینه به روش OFAT انجام و تک تک پارامترها به صورت مجزا بهینه سازی شده‌اند. از همین رو هدف از این تحقیق بررسی آثار هم‌زمان پارامترهای موثر بر فرایند ازن زنی، سیستیک واکنش و دست‌یابی به بهترین راندمان فرایند ازن زنی رنگزا اسید اورانژ ۷ با در نظر گرفتن شرایط از پیش تعیین شده بود به شکلی که نرخ گاز ازن تزریقی در کمترین حد، غلظت آلاینده در بالاترین مقدار، عدم تغییر pH طبیعی رنگزا و کمترین زمان واکنش صورت گیرد.

۲- مواد و روش‌ها

۲-۱- مواد و تجهیزات

در این تحقیق از اسید اورانژ ۷ ($C_{16}H_{11}N_2NaO_4S$) شرکت الوان ثابت به عنوان آلاینده شاخص و از NaOH و HCl شرکت Merck به منظور تنظیم pH استفاده شد. در این مطالعه از دستگاه اسپکتروفوتومتر Hach مدل DR 4000 به منظور اندازه‌گیری pH غلظت رنگزا، ترازوی دیجیتالی Mettler مدل PJ300 متر Metrohm مدل 691، ازن ژنراتور شرکت Arda مدل cog ۵، ازن آنالیزr شرکت BMT مدل ۹۶۸ برای اندازه‌گیری ویژگی‌های ازن تزریقی و پمپ پریستالتیک مدل ۵۰۰۱ ساخت شرکت Heidolph برای سیر کولاسیون جریان استفاده شد.

۲-۲- روش کار

راکتور مورد استفاده از جنس پلاکسی گلاس و به صورت استوانه ای با ابعاد (ارتفاع = ۱۰ cm، قطر دائرة بیرونی = ۱۷ cm و قطر دائیره داخلی = ۷ cm) شکل (۱) و حجم مقید ۱۵۰۰ mL بود. به منظور جلوگیری از فرار فاضلاب، کوتاه شدن مسیر حرکت آن و ایجاد فضای مرده، دیواری بین جریان ورودی و خروجی فاضلاب قرار گرفت و گردش جریان فاضلاب درون راکتور از طریق بکارگیری پمپ پریستالتیک با دبی ثابت ۸/۵ لیتر در ساعت فراهم شد. به منظور تامین ازن، از یک دستگاه ازن ژنراتور استفاده شد که با گاز اکسیژن خالص تغذیه می‌شد و دبی آن با

1. Respond Surface Methodology
2. Central Composite Design

۳- نتایج و بحث

۳-۱- بهینه سازی با بکارگیری RSM

بر اساس نتایج RSM، ضریب همبستگی (R^2) و ضریب همبستگی تعديل شده (\bar{R}^2) برای پاسخ مدل به ترتیب $96/85$ و $94/92$ درصد بدست آمد که بیانگر پیوستگی بالای مقادیر تجزیی و پیش‌بینی شده به وسیله مدل برای پاسخ‌ها است. تحلیل واریانس این فرایند در جدول (۳) ارائه شده است. مقدار prob کمتر از 0.0001 نشان دهنده مهم و معنی‌دار بودن عبارت و روابط مدل است. همچنین مقادیر پایین P-value و بالای F-value برای پاسخ مدل نظر حاکی از سطح بالای اطمینان می‌باشد. شکل (۲ الف) مقادیر پیش‌بینی شده توسط مدل‌های آماری بر حسب مقادیر واقعی حاصل از آزمایش‌های تجزیی را نشان می‌دهند. توزیع یکنواخت و فاصله اندک نقاط حول خط نشان می‌دهند. توزیع یکنواخت و نزدیک بودن مقادیر پیش‌بینی شده به وسیله نرم افزار با اندازه‌گیری‌های آزمایشگاهی است و میزان توانایی پیش‌بینی پاسخ توسط مدل را بیان می‌کند. همان‌گونه که ملاحظه می‌شود، نزدیکی بین مقادیر واقعی و پیش‌بینی شده و توزیع یکنواخت نتایج بدست آمده روی خط نرمال نشان از توزیع یکنواخت خطا دارد. شکل (۲ ب) نتایج و پیش‌بینی نرم افزار را نشان می‌دهد، توزیع و پراکندگی اتفاقی نتایج دلالت بر مناسب بودن فرض در نظر گرفته شده توسط نرم افزار در خصوص ثبات واریانس است. شکل (۲ پ) تاثیر آزمایشات بدست آمده بر پاسخ‌های ارائه شده از سوی نرم افزار را نشان می‌دهد، در صورتی که یکی از آزمایشات در خارج از محدوده باشد، این آزمایش تاثیر منفی بر نتایج کلی حاصل از نرم افزار خواهد گذاشت که در مورد آزمایشات انجام گرفته این کنترل نیز به خوبی صورت گرفته است. نرم افزار Design Expert بازدهی حذف رنگزا توسط فرایند ازن زنی را به صورت معادله ۸ ارائه نموده است.

$$\begin{aligned}
 & +(\text{راندمان حذف } (\%)) + (\text{حرارتیکی } (\%)) + (\text{حرارتیکی } (\%)) \\
 & + (\text{حرارتیکی } (\%)) * Q(O_3) - (\text{حرارتیکی } (\%)) * [Dye] - (\text{حرارتیکی } (\%)) * [H^+] * T + (\text{حرارتیکی } (\%)) * [H^+] * Q(O_3) \\
 & + (\text{حرارتیکی } (\%)) * [H^+] * [Dye] - (\text{حرارتیکی } (\%)) * T * Q(O_3) - \\
 & (\text{حرارتیکی } (\%)) * T * [Dye] + (\text{حرارتیکی } (\%)) * Q(O_3) * [Dye] - (\text{حرارتیکی } (\%)) * Q(O_3)^2
 \end{aligned} \quad (8)$$

جدول ۱. محدوده و سطوح برای پارامترهای مورد بررسی

Parameters	Levels				
	-2	-1	0	1	2
pH	3	5	7	9	11
Time (min)	20	30	40	50	60
Ozone injection rate (L/min)	0.2	0.4	0.6	0.8	1
Dye Concentration (mg/L)	50	225	400	575	750

Table 1. Levels for investigated parameters

جدول ۲. مشخصات آزمایش‌های طراحی شده و پاسخ آنها

Std	Run	pH	Time	[O ₃]	[Dye]	Dye Removal
13	1	5	30	0.8	575	67
16	2	9	50	0.8	575	94
18	3	11	40	0.6	400	92
5	4	5	30	0.8	225	77
27	5	7	40	0.6	400	77
17	6	3	40	0.6	400	67
24	7	7	40	0.6	750	78
21	8	7	40	0.2	400	54
14	9	9	30	0.8	575	94
7	10	5	50	0.8	225	89
22	1	7	40	1	400	94
23	12	7	40	0.6	50	90
25	13	7	40	0.6	400	81
3	14	5	50	0.4	225	74
11	15	5	50	0.4	575	68
2	16	9	30	0.4	225	66
4	17	9	50	0.4	225	81
1	18	5	30	0.4	225	51
19	19	7	20	0.6	400	72
9	20	5	30	0.4	575	55
20	21	7	60	0.6	400	90
10	22	9	30	0.4	575	71
6	23	9	30	0.8	225	92
15	24	5	50	0.8	575	85
30	25	7	40	0.6	400	80
28	26	7	40	0.6	400	80
29	27	7	40	0.6	400	81
8	28	9	50	0.8	225	98
12	29	9	50	0.4	575	80
26	30	7	40	0.6	400	80

Table 2. Designed experiments and its responses

راندمان حذف رنگزا می‌باشدند. نکته قابل ذکر اینکه به دلیل بالا بودن F-Value توان دوم پارامترهای غلظت رنگزا، pH و زمان، این فاکتورها از مدل حذف شد تا علاوه بر دست یابی به عدم برآش پایین، مدل بدست آمده دقیق‌تر باشد. نتایج بهینه‌سازی حذف رنگزا توسط فرایند ازن زنی با بکارگیری نرم افزار RSM و تاثیر همزمان پارامترهای موثر بر آن در شکل (۳) ارائه شده است که در ادامه به تفکیک مورد بررسی قرار می‌گیرند.

پارامترهای $[H^+]$, T, Q(O_3) و [Dye] به ترتیب pH, زمان بر حسب (min), نرخ ازن تزریقی بر حسب (L/min) و غلظت اولیه رنگزا بر حسب (mg/L) هستند. در این رابطه حاصل ضرب عوامل حاکی از تاثیر گذاری تداخلی پارامترها است. همان‌گونه که مشخص است، مهمترین پارامترها به ترتیب نرخ ازن تزریقی، pH, زمان واکنش و غلظت اولیه رنگزا هستند که در این بین کلیه پارامترها به جز غلظت اولیه رنگزا دارای تاثیر مثبت بر

جدول ۳. تحلیل واریانس عملکرد فرایند ازن زنی در تصفیه فاضلاب رنگزا

Analysis of variance table							
Respond	Model	Source	Sum of squares	df	Mean square	F-value	P-value
Dye Removal (%)	Modified Quadratic	Model	4332.09	11	393.83	50.24	< 0.0001
		A-pH	1066.67	1	1066.67	130.06	< 0.0001
		B-Time	726.00	1	726.00	92.61	< 0.0001
		C-[O_3]	2204.17	1	2204.17	281.16	< 0.0001
		D-[Dye]	60.17	1	60.17	7.67	0.0126
		AB	81.00	1	81.00	10.33	0.0048
		AC	6.25	1	6.25	0.8	0.3837
		AD	20.25	1	20.25	2.58	0.1254
		BC	36.00	1	36.00	4.59	0.0460
		BD	16.00	1	16.00	2.04	0.1702
		CD	20.25	1	20.25	2.58	0.1254
		C^2	95.34	1	95.34	12.16	0.0026
		Residual	141.11	18	7.84	-	
		Lack of fit	130.28	13	10.02	4.63	0.0507
		Cor total	4473.20	29	-		not significant

Table 3. Analysis of variance of ozonation process

شکل ۲. نتایج کنترل نرمال بودن خطأ، استقلال خطأ و ثبات واریانس

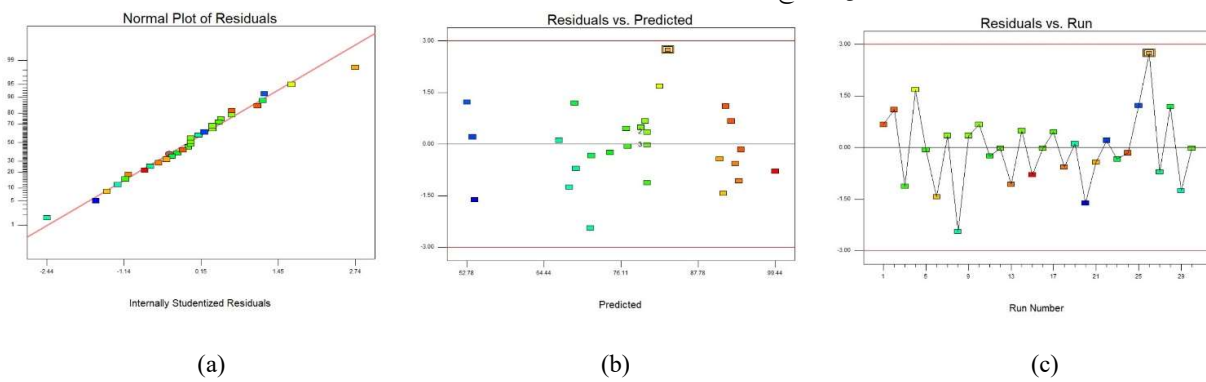


Fig. 2. Normal error, error independence and variance stability control

شکل ۳. بررسی تاثیر (الف) زمان و pH، ب) نرخ ازن تزریقی و زمان، پ) غلظت رنگرا و pH، ت) نرخ ازن تزریقی و pH، ث) غلظت رنگرا و زمان، ج) نرخ ازن تزریقی و غلظت رنگرا بر راندمان حذف رنگرا

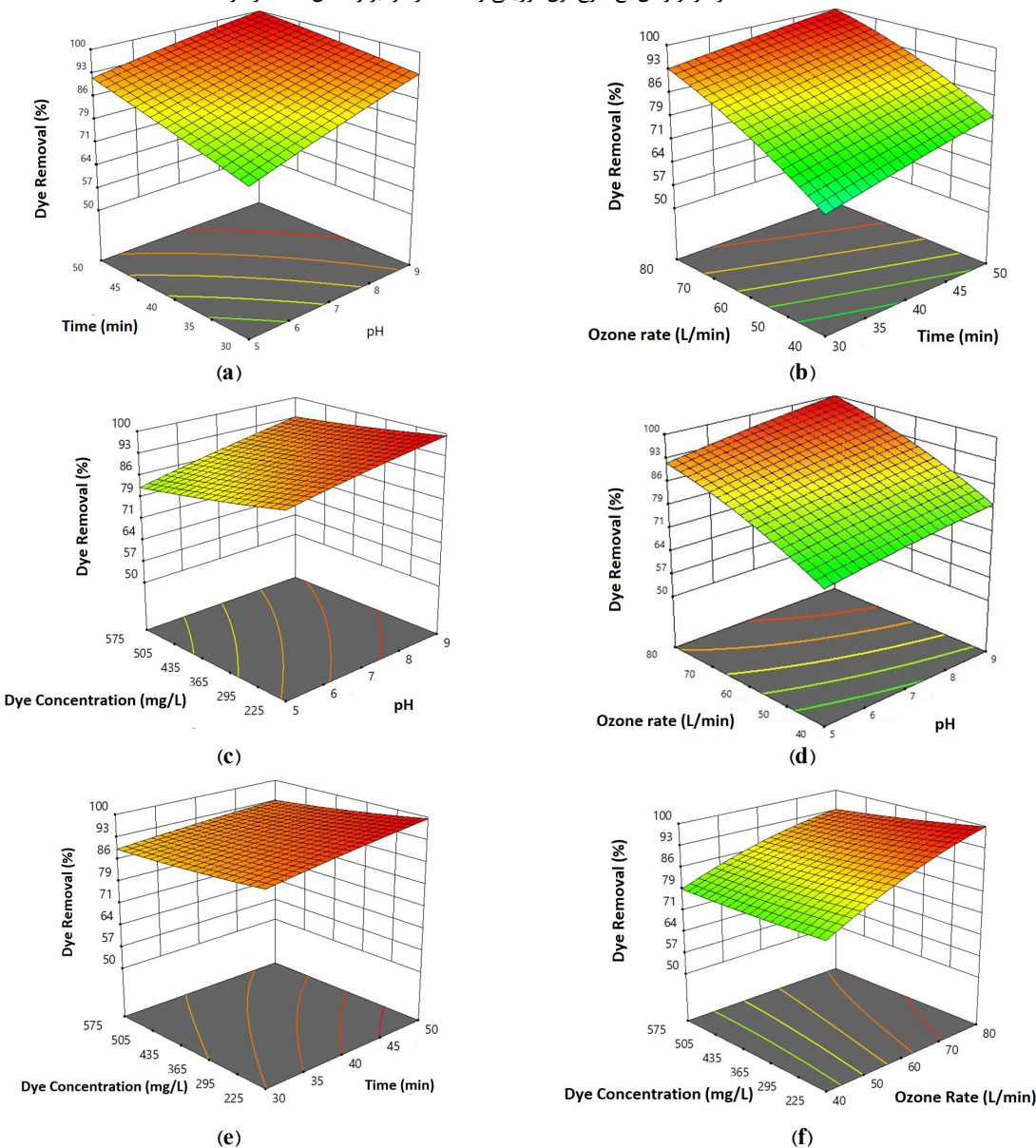


Fig. 3. Effects of a) time and pH, b) ozone injection rate and time, c) dye concentration and pH, d) ozone injection rate and pH, e) dye concentration and time, f) ozone injection rate and dye concentration on dye removal efficiency

حذف رنگرا به حدوداً ۹۹ درصد نیز می‌رسد. رادیکال هیدروکسیل و مولکولهای ازن، اکسیدکننده‌های اصلی در تصفیه رنگرا به شمار می‌روند و پارامتری مانند pH تاثیر زیادی بر میزان و نسبت این دو اکسیدکننده در این فرایند دارد. از آنجایی که غلظت رادیکال هیدروکسیل در pHهای قلیابی بیشتر است و این اکسیدکننده از قدرت بالاتری نسبت به مولکول ازن برخوردار

۳-۱-۱- بررسی تاثیر زمان و pH
شکل (۲) (الف) تاثیر همزمان pH اولیه واکنش و زمان بر راندمان حذف آلانیده را نشان می‌دهد. همان‌گونه که ملاحظه می‌شود، بیشترین راندمان حذف رنگرا در حداکثر pH و زمان واکنش رخ می‌دهد. بر اساس این نتایج افزایش pH از ۵ تا ۹ حتی در زمان ۳۰ دقیقه منجر به بهبود راندمان از کمتر از ۷۸ درصد به بالاتر از ۹۵ درصد می‌شود که با افزایش زمان واکنش به ۵۰ دقیقه توان

تصفیه رنگرا می‌شود. اما در حالت اسیدی به دلیل عملکرد انتخابی مولکول ازن، واکنش‌ها بین رنگرا و مولکول ازن رخ می‌دهند و بدین ترتیب راندمان حذف آن نیز بالاتر مشاهده می‌شود [26, 36].

۴-۱-۳- بررسی تاثیر pH و نرخ ازن تزریقی

شکل (۳ ت) نتایج تاثیر همزمان pH و نرخ ازن تزریقی بر راندمان حذف رنگرا را نشان می‌دهد. همان‌گونه که ملاحظه می‌شود، هر دو پارامتر pH و نرخ ازن تزریقی تاثیر مثبتی بر عملکرد فرایند ازن زنی دارند و با افزایش pH از ۵ به ۹ و نرخ ازن تزریقی از $0/2\text{ L/min}$ تا $0/8\text{ L/min}$ ، راندمان حذف رنگرا پس از ۵۰ دقیقه از 70% درصد به 97% درصد افزایش می‌یابد. افزایش نرخ ازن تزریقی و pH به دلیل بهبود انتقال جرم مولکول‌های ازن به محلول و ایجاد شرایط قلیابی، در اثر پدیده هم افزایی، احتمال تولید رادیکال‌های هیدروکسیل را افزایش می‌دهد و امکان تصفیه بار آلی در اثر تماس رنگرا با این ترکیبات نیز بیشتر می‌شود. با توجه به نتایج بدست آمده، دو پارامتر مذکور دارای تاثیر هم افزایی بر یکدیگر و راندمان حذف رنگرا هستند. [28, 30, 37]

۴-۱-۴- بررسی تاثیر زمان و غلظت اولیه رنگرا

شکل (۳ ث) تاثیر همزمان پارامترهای زمان و غلظت اولیه رنگرا در شرایط بهینه را نشان می‌دهد. همان‌گونه که مشاهده می‌شود، افزایش غلظت اولیه رنگرا تا حدی با کاهش راندمان حذف رنگرا همراه است به شکلی که افزایش غلظت رنگرا از 225 mg/L به 575 mg/L با کاهش راندمان از 95% درصد به 89% درصد همراه است که این موضوع می‌تواند ناشی از توانایی بالای ازن در واکنش با ترکیبات با پیوندهای دوگانه باشد [20, 21]. همان‌گونه که ملاحظه می‌شود، افزایش زمان تاثیر زیادی بر راندمان حذف رنگرا دارد، ازن و اکسیدکننده‌های ناشی از آن با گذشت زمان، بیشتر در محلول حل می‌شوند و در اثر واکنش با آلاینده منجر به تصفیه آلاینده می‌شوند [38]. بر اساس نتایج بدست آمده، بیشترین راندمان حذف رنگرا پس از ۵۰ دقیقه و برای غلظت اولیه 225 mg/L بدست آمد و در این مدت در حدود 98% درصد از رنگرا اولیه حذف شد.

است، نرخ حذف رنگرا در این شرایط نیز بالاتر می‌رود [31]. بر اساس مطالعات Secula و Barrot (۲۰۱۳) نیز، افزایش pH منجر به افزایش نرخ انتقال جرم ازن در محلول می‌شود که می‌تواند دلیل دیگری بر بهبود عملکرد فرایند ازن زنی در pHهای قلیابی باشد (واکنش‌های ۱ تا ۶) [32].

۴-۱-۵- بررسی تاثیر زمان و نرخ ازن ذنی

تاثیر همزمان پارامترهای زمان و نرخ ازن تزریقی بر راندمان حذف آلاینده در شکل (۳ ب) نشان داده شده است. بر اساس این نتایج افزایش ازن تزریقی و زمان واکنش باعث بهبود عملکرد فرایند ازن ذنی می‌شود. همان‌گونه که ملاحظه می‌شود، افزایش نرخ ازن تزریقی از $0/4\text{ L/min}$ به $0/8\text{ L/min}$ پس از ۳۰ دقیقه باعث افزایش راندمان حذف رنگرا از 67% درصد به بالای 90% درصد می‌شود. نرخ ازن ورودی تاثیر مستقیم بر میزان انتقال جرم گاز ازن به فاز محلول دارد بنابراین افزایش ازن ورودی باعث افزایش انتقال جرم مولکول‌های ازن و احتمال تولید رادیکال‌های مختلف از جمله هیدروکسیل (واکنش‌های ۱ تا ۶) در محلول می‌شود [23]. این روند تا جایی ادامه پیدا می‌کند تا غلظت ازن محلول در فرایند به حد اشباع خود برسد [33]. در تحقیق Sevimli و همکاران (۲۰۰۲) و Sevimli و همکاران (۲۰۰۳) نیز نتایج یکسانی گزارش شده است [34, 35].

۴-۱-۶- بررسی تاثیر pH و غلظت اولیه رنگرا

تاثیر همزمان pH و غلظت اولیه رنگرا بر راندمان حذف رنگرا در شکل (۳ پ) ارائه شده است. همان‌گونه که ملاحظه می‌شود، افزایش و کاهش به ترتیب pH و غلظت اولیه رنگرا به 9 mg/L و 225 mg/L میلی‌گرم بر لیتر منجر به حذف 98% درصدی رنگرا می‌شود و در نقطه مقابل کاهش و افزایش به ترتیب pH و غلظت اولیه رنگرا به 5 mg/L و 575 mg/L میلی‌گرم بر لیتر منجر به حذف 81% درصدی رنگرا می‌شود. بدیهی است که افزایش غلظت اولیه رنگرا نیاز به ماده اکسیدکننده را نیز افزایش می‌دهد و از آنجایی که در فرایندهای شیمیایی در شرایط ثابت، غلظت ثابتی از اکسیدکننده تولید می‌شود، راندمان حذف رنگرا نیز کاهش می‌یابد. از طرف دیگر واکنش رادیکال هیدروکسیل با ترکیبات میانی موجب کاهش نرخ

افزار بی‌نهایت شرایط بهینه را پیش‌بینی می‌کند به منظور محدود کردن این حالات، شرایطی کاربردی برای نرم‌افزار تعریف شد تا حالات بدست آمده از نظر اجرایی مطلوبیت بیشتری داشته باشند. جدول (۴) شرایط مطلوب تعریف شده را نشان می‌دهد. به طور کلی مناسب‌ترین حالت این است که فرایند ازن زنی با صرف ازن کم، در زمان کوتاه، در همان pH اولیه رنگزا توانایی حذف بالاترین غلظت رنگزا را راندمان بالا داشته باشد. در چنین شرایطی پاسخ‌های نرم افزار با مقبولیت پایین ۱٪ بدست آمد. بر همین اساس هدف بهینه سازی به پیدا کردن نقاطی تغییر کرد که جزئیات محدوده آن در جدول قابل مشاهده است. لازم به ذکر است که نرخ ازن تزریقی از ۰/۲ L/min تا ۰/۶ L/min انتخاب شد (زیرا در نرخ‌های کمتر از نهان، قابلیت تصفیه مناسب رنگزا وجود نداشت و از همین رو پاسخی از مدل با مقبولیت ۱٪ بدست نمی‌آمد). شرایط بهینه پیش‌بینی شده با مقبولیت ۱٪ به صورت ۲۲ پاسخ بدست آمد که بر حسب فراوانی نقاط در جدول (۴) ارائه شده است.

۳-۳- بررسی تأثیر غلظت اولیه آلاینده و نرخ ازن تزریقی
شکل (۳) ج) تأثیر همزمان غلظت اولیه آلاینده و نرخ ازن تزریقی بر راندمان حذف رنگزا پس از ۵۰ دقیقه واکنش را نشان می‌دهد. همان‌گونه که پیشتر نیز ذکر شد، غلظت اولیه رنگزا تا حدی با اثر منفی بر راندمان حذف رنگزا موجب کاهش عملکرد این فرایند می‌شود در حالی که نرخ ازن تزریقی موجب بهبود عملکرد فرایند ازن زنی می‌شود. بر اساس مشاهدات Tehrani Bagha و همکاران (۲۰۱۰)، به دلیل عملکرد غیر انتخابی ازن در تصفیه رنگزا، افزایش نرخ آن تأثیر مستقیمی بر بهبود راندمان حذف رنگزا دارد [۲۵]، از طرف دیگر افزایش غلظت رنگزا از ۲۲۵ به ۵۷۵ تأثیر چندانی بر راندمان نهایی فرایند ازن زنی ندارد که حاکی از ظرفیت بالای این فرایند در شکست پیوندهای دوگانه مانند رنگراها دارد [۳۰, ۳۱].

۳-۴- شرایط بهینه بدست آمد

هدف از طراحی آزمایش پیدا کردن عوامل معنادار و پیش‌بینی پاسخ‌ها از روی تعداد محدودی آزمایش است. با توجه به اینکه نرم

جدول ۴ شرایط پیش‌بینی شده بالاترین راندمان حذف آلاینده ناشی از مدل

parameters	pH	Time (min)	Ozone injection rate (L/min)	Dye concentration (mg/L)	Dye Removal (%)	Frequency
Domain	7.5-8	20-60	0.2-0.6	150-750	90-100	
	7.5-8	51-58	0.52-0.58	155-200	90-95	7
	7.5-8	58-60	0.55-0.6	200-300	90-92	3
	7.5-8	59-60	0.58-0.6	300-400	90-91	7
	7.5-8	59-60	0.59-0.6	400-480	89-90	5
Real experiment	7.7	60	0.6	480	95	

Table 4. Model criteria range for pollution removal

۳-۵- بررسی سیستمیک و سرعت حذف

به منظور بررسی سیستمیک فرایند از مدل‌های سیستمیک مرتبه صفر، شبیه مرتبه اول، و شبیه مرتبه دوم استفاده شد. همچنین تأثیر نرخ ازن تزریقی بر نرخ واکنش برای حالت‌های مذکور مورد بررسی قرار گرفت که نتایج ضرایب رگرسیون هر یک در جدول (۵) ارائه شده است. با توجه به نتایج بدست آمده، بهترین مدل از طریق بیشترین ضریب رگرسیون (R^2) انتخاب شد. بر این اساس R^2 بدست آمده برای رابطه شبیه مرتبه اول از سایر مقادیر بیشتر بود که به ترتیب برای نرخ ازن تزریقی min ۰/۶، ۰/۴، ۰/۲ و

برای تعیین دقت مدل، مقایسه بین نتایج واقعی حاصل در شرایط بهینه با پاسخ‌های پیش‌بینی شده مدل انجام گرفت (جدول ۴). بر این اساس، کمترین نرخ ازن تزریقی مورد نیاز برای تصفیه رنگزا با غلظت اولیه ۴۸۰ ppm تا راندمان بالای ۹۵ درصد در کوتاه زمان ممکن (۱ ساعت)، با توجه به ۰/۶ L/min است که با توجه به حجم ۱/۵ راکتور تحقیق، نشان از توان مناسب فرایند ازن زنی در تصفیه رنگزا در غلظت‌های بالا و برای حجم بالایی از فاضلاب دارد.

به خوبی قادر به تصفیه رنگرای اسید اورانز ۷ در مقایسه با سایر فرایندهای اکسیداسیون پیشرفتی است [37]. اما بالا بردن بیشتر نرخ ازن تزریقی به ۱ لیتر در ساعت تاثیر چندانی بر نرخ واکنش شبه مرتبه اول ندارد. این موضوع علاوه بر اینکه با انتخاب حالت بهینه ۰/۶ لیتر در ساعت برای نرخ تزریق ازن توسط نرم افزار در یک راست است، نشان می‌دهد که نرخ واکنش ازن تزریق شده به محلول با افزایش از ۰/۶ به ۱ لیتر در ساعت تغییر چندانی نداشته است که شاید مرتبط با میزان انحلال گاز ازن از فاز گاز به فاز مایع است. این پدیده یکی از نقاط ضعف و محدودیت‌های فرایند ازن زنی به شمار می‌رود که در تحقیق Soares و همکاران (۲۰۰۶) نیز به آن اشاره شده است [38].

۴- نتیجه گیری

ازن زنی یکی از فرایندهای اکسیداسیون پیشرفتی به شمار می‌رود که به صورت مستقیم و غیر مستقیم قابلیت تجزیه ترکیبات آلی از جمله رنگزاهای آزو را دارد. در این تحقیق با بکارگیری روش طراحی آزمایش CCD و از طریق نرم افزار Design Expert ۷ تاثیر پارامترهای pH، غلظت رنگرای، نرخ تزریق ازن و زمان واکنش بر فرایند ازن زنی رنگرای اسید اورانز ۷ مورد بررسی قرار گرفت. مدل بدست آمده با R^2 بالای ۹۶ درصد و F-value ۱/۰۰۰۰۱ از همبستگی و دقت بالایی برخوردار بود. در این مدل پارامترهای نرخ ازن تزریقی، زمان واکنش، pH و غلظت اولیه رنگرا به ترتیب موثرترین پارامترها بر فرایند شناخته شدند. نتایج بدست آمده حاکی از آن بود که فرایند ازن زنی در شرایط مختلف پارامترهای مذکور قادر به تصفیه رنگرای تا حد قابل قبول می‌باشد. از این رو سعی بر آن شد تا بیشترین راندمان حذف رنگرای در شرایط کمترین زمان واکنش، کمترین نرخ ازن تزریقی، کمترین تغییر در pH طبیعی رنگرای و بالاترین غلظت اولیه رنگرای انتخاب شود. پس از تعیین شرایط مذکور برای نرم افزار و مشاهده پاسخ‌های بدست آمده، شرایط بهینه به صورت غلظت اولیه رنگرای برابر ۰/۶ میلیگرم بر لیتر، pH برابر ۷/۷، نرخ ازن تزریقی حدوداً ۰/۶ لیتر در دقیقه و زمان حدوداً ۶۰ دقیقه به عنوان حالت بهینه جهت دست یابی به راندمان بالای ۹۰ تا ۹۵ درصدی رنگرای بدست آمد. بطور کلی نتایج بدست آمده حاکی از آن بود که با تعیین بازه‌های

۱ عبارت بود از ۰/۹۷، ۰/۹۸ و ۰/۹۹. بنابراین این مدل به عنوان مدل مناسب برای فرایند ازن زنی انتخاب شد. مدل سیتیک شبه مرتبه اول از طریق رابطه ۹ بدست آمد که در این رابطه C_0 غلظت اولیه رنگرای، t زمان واکنش، C غلظت رنگرای در زمان t و k_1 ثابت سرعت واکنش شبه مرتبه اول است که نتایج آن در شکل (۴) آمده است.

$$\ln C_0/C = k_1 t \quad (9)$$

جدول ۵ ضرایب رگرسیون برای سیتیک‌های مختلف

Inlet Ozone (L/min)	Zero order	pseudo first order	pseudo second order
0.2	0.9	0.97	0.56
0.4	0.87	0.99	0.67
0.6	0.85	0.96	0.54
1	0.75	0.98	0.57

Table 5. Regression coefficient for different kinetics

شکل ۴. بررسی تاثیر نرخ ازن تزریقی بر سیتیک شبه مرتبه اول ازن زنی

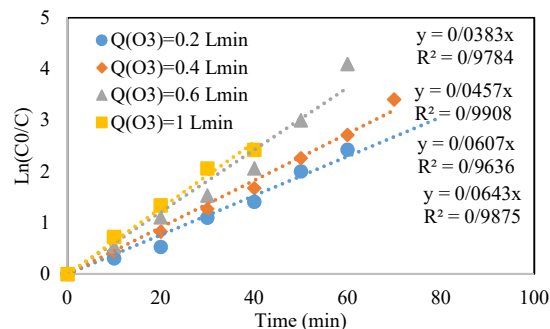


Fig. 4. Effect of ozone injection rate on

بررسی نتایج بدست آمده از نرخ واکنش شبه مرتبه اول و تاثیر نرخ ازن تزریقی بر آن در شکل (۴) نشان می‌دهد که افزایش نرخ ازن تزریقی از ۰/۲ تا ۰/۶ باعث افزایش سرعت واکنش از $0/032 \text{ min}^{-1}$ به $0/064 \text{ min}^{-1}$ می‌شود. در تحقیق Agarwal و همکاران (۲۰۱۶) این نرخ برای غلظت اولیه 50 mg/L ازن زنی $2/25 \text{ g/hr}$ و $\text{pH}=6$ مقدار $0/371$ بدست آمده است [30]. بر اساس تحقیق Siminghad و همکاران (۲۰۱۹) نرخ تصفیه رنگرای اسید اورانز ۷ در اثر فرایند فتوکاتالیستی با غلظت اولیه 35 mg/L برابر با $0/032 \text{ min}^{-1}$ بدست آمد [36]. از طرف دیگر طبق تحقیق Orimolade و Arotiba (۲۰۱۹)، نرخ واکنش شبه مرتبه اول رنگرای اسید اورانز ۷ به ترتیب $0/016 \text{ min}^{-1}$ و $0/009 \text{ min}^{-1}$ برای فرایندهای فتوالکتروکاتالیستی و الکتروشیمیایی نشان داد که ازن

- Nanocomposite. *Nanomaterials*. 2020 Jan;10(1):170.
- [5] Kahloul M, Ounifi I, Hafiane A. Investigation of dye removal from aqueous solutions by Preyssler assisted-ultrafiltration: UV-visible and photoluminescence study. *Materials Research Express*. 2020 Jan 8;6(12):125541.
- [6] Roy U, Manna S, Sengupta S, Das P, Datta S, Mukhopadhyay A, Bhowal A. Dye removal using microbial biosorbents. In *Green Adsorbents for Pollutant Removal* 2018 (pp. 253-280). Springer, Cham.
- [7] Ghalebizade M, Ayati B. Solar photoelectrocatalytic degradation of Acid Orange 7 with ZnO/TiO₂ nanocomposite coated on stainless steel electrode. *Process Safety and Environmental Protection*. 2016 Sep 1;103:192-202.
- [8] Liu Y, Zhang F, Zhu W, Su D, Sang Z, Yan X, Li S, Liang J, Dou SX. A multifunctional hierarchical porous SiO₂/GO membrane for high efficiency oil/water separation and dye removal. *Carbon*. 2020 Jan 3.
- [9] Regti A, Laamari MR, Stiriba SE, El Haddad M. Use of response factorial design for process optimization of basic dye adsorption onto activated carbon derived from *Persea* species. *Microchemical Journal*. 2017 Jan 1;130:129-36.
- [10] Mozafarjalali M, Hajiani M, Haji A. Efficiency of *Aptenia Cordifolia* Mucilage in Removal of Anion Dyes from Aqueous Solution. *International Journal of New Chemistry*. 2020 Apr 1;7(2):111-24.
- [11] Chen W, Mo J, Du X, Zhang Z, Zhang W. Biomimetic dynamic membrane for aquatic dye removal. *Water Research*. 2019 Mar 15;151:243-51.
- [12] Nidheesh PV, Zhou M, Oturan MA. An overview on the removal of synthetic dyes from water by electrochemical advanced oxidation processes. *Chemosphere*. 2018 Apr 1;197:210-27.
- [13] Ayati B. Study of reactive blue 171 dye degradation in hybrid system of UV/H₂O₂ & SBAR. *Iranian Journal of Health and Environment*. 2013 Dec 15;6(3):393-406.
- [14] Pulicharla R, Proulx F, Behmel S, Sérodes JB, Rodriguez MJ. Trends in Ozonation Disinfection By-Products—Occurrence, Analysis and Toxicity of Carboxylic Acids. *Water*. 2020 Mar;12(3):756.
- [15] Zhang J, Huang GQ, Liu C, Zhang RN, Chen

مناسب می‌توان به پاسخ‌های مطلوبتری از طراحی آزمایش دست یافته و فرایند ازن زنی قادر به تجزیه رنگزا با غلظت‌های اولیه بالا در حجم بالای ۱/۵ لیتر می‌باشد. همچنین سیستمیک واکنش ازن زنی و رنگزا مذکور شبه مرتبه اول بدست آمد و افزایش نرخ ازن تزریقی از ۰/۲ به ۰/۶ L/min با افزایش سرعت واکنش از ۰/۳ به ۰/۶ همراه بود و افزایش بیشتر ازن تزریقی تاثیر چندانی بر نرخ واکنش نشان نداد. همانگونه که ملاحظه می‌شود، فرایند ازن زنی قادر به تصفیه غلظت بالای ۴۸۰ میلیگرم بر لیتر رنگزا در مدت زمان ۱ ساعت می‌باشد که نشان می‌دهد این فرایند می‌تواند از عملکرد خوبی در حذف ترکیبات پیچیده آلی حتی تا غلظت‌های بالا برخوردار باشد.

حمایت مالی

این کار با حمایت مالی دانشگاه تربیت مدرس انجام شده است.

اعلام تعارض منافع

نویسنده‌گان اعلام می‌کنند که هیچ نوع تعارض منافع وجود ندارد.

۵- مراجع

- [1] Nautiyal P, Subramanian KA, Dastidar MG. Adsorptive removal of dye using biochar derived from residual algae after in-situ transesterification: alternate use of waste of biodiesel industry. *Journal of Environmental Management*. 2016 Nov 1;182:187-97.
- [2] Katheresan V, Kansedo J, Lau SY. Efficiency of various recent wastewater dye removal methods: a review. *Journal of Environmental Chemical Engineering*. 2018 Aug 1;6(4):4676-97.
- [3] Mao B, Sidhureddy B, Thiruppathi AR, Wood PC, Chen A. Efficient dye removal and separation based on graphene oxide nanomaterials. *New Journal of Chemistry*. 2020;44(11):4519-28.
- [4] Yadav S, Asthana A, Chakraborty R, Jain B, Singh AK, Carabineiro SA, Susan M, Hassan AB. Cationic Dye Removal Using Novel Magnetic/Activated Charcoal/β-Cyclodextrin/Alginate Polymer

- from colored textile wastewater by ozonation. *Desalination*. 2010 Sep 30;260(1-3):34-8.
- [26] Sharma S, Buddhdev J, Patel M, Ruparelia JP. Studies on degradation of reactive red 135 dye in wastewater using ozone. *Procedia Engineering*. 2013 Jan 1;51:451-5.
- [27] Altmann J, Ruhl AS, Zietzschmann F, Jekel M. Direct comparison of ozonation and adsorption onto powdered activated carbon for micropollutant removal in advanced wastewater treatment. *Water Research*. 2014 May 15;55:185-93.
- [28] Gomes J, Costa R, Quinta-Ferreira RM, Martins RC. Application of ozonation for pharmaceuticals and personal care products removal from water. *Science of The Total Environment*. 2017 May 15;586:265-83.
- [29] Liang J, Ning XA, Sun J, Song J, Hong Y, Cai H. An integrated permanganate and ozone process for the treatment of textile dyeing wastewater: Efficiency and mechanism. *Journal of Cleaner Production*. 2018 Dec 10;204:12-9.
- [30] Agarwal S, Sharma A, Singh K, Gupta AB. Decolorization of direct red and direct blue dyes used in handmade paper making by ozonation treatment. *Desalination and Water Treatment*. 2016 Feb 13;57(8):3757-65.
- [31] Gomes AC, Fernandes LR, Simões RM. Oxidation rates of two textile dyes by ozone: Effect of pH and competitive kinetics. *Chemical Engineering Journal*. 2012 May 1;189:175-81.
- [32] Secula MS, Barrot Y, Cagnon B, Versaveau F, Chedeville O. Diethyl phthalate removal by continuous-flow ozonation: Response surface modeling and optimization. *Water, Air, & Soil Pollution*. 2013 Apr 1;224(4):1484.
- [33] Wang C, Yediler A, Lienert D, Wang Z, Kettrup A. Ozonation of an azo dye CI Remazol Black 5 and toxicological assessment of its oxidation products. *Chemosphere*. 2003 Aug 1;52(7):1225-32.
- [34] Sevimli MF, Sarikaya HZ. Ozone treatment of textile effluents and dyes: effect of applied ozone dose, pH and dye concentration. *Journal of Chemical Technology & Biotechnology: International Research in Process, Environmental & Clean Technology*. 2002 Jul;77(7):842-50.
- [35] Sevimli MF, Sarikaya HZ, Yazgan MS. A new approach to determine the practical ozone dose for color removal from textile wastewater. XX, Zhang L. Synergistic effect of microbubbles and activated carbon on the ozonation treatment of synthetic dyeing wastewater. *Separation and Purification Technology*. 2018 Aug 7;201:10-8.
- [16] Boudissa F, Mirilà D, Arus VA, Terkmani T, Semaan S, Proulx M, Nistor ID, Roy R, Azzouz A. Acid-treated clay catalysts for organic dye ozonation—Thorough mineralization through optimum catalyst basicity and hydrophilic character. *Journal of Hazardous Materials*. 2019 Feb 15;364:356-66.
- [17] Souza-Chaves BM, Dezotti M, Vecitis CD. Synergism of ozonation and electrochemical filtration during advanced organic oxidation. *Journal of Hazardous Materials*. 2020 Jan 15;382:121085.
- [18] Shimizu A, Takuma Y, Kato S, Yamasaki A, Kojima T, Urasaki K, Satokawa S. Degradation kinetics of azo dye by ozonation in water. *Journal of Faculty Science Technology*. 2013 Sep 30:50:1-4.
- [19] Ikehata K, Jodeiri Naghashkar N, Gamal El-Din M. Degradation of aqueous pharmaceuticals by ozonation and advanced oxidation processes: a review. *Ozone: Science and Engineering*. 2006 Dec 1;28(6):353-414.
- [20] El Hassani K, Kalnina D, Turks M, Beakou BH, Anouar A. Enhanced degradation of an azo dye by catalytic ozonation over Ni-containing layered double hydroxide nanocatalyst. *Separation and Purification Technology*. 2019 Feb 8;210:764-74.
- [21] Zefrei FG, Ayati B, Ganjidoust H, Ma'mouri RS. Treatment of wastewater containing acid orange 7 using ozonation process and determination of the intermediate by-products.
- [22] Wang H, Yuan S, Zhan J, Wang Y, Yu G, Deng S, Huang J, Wang B. Mechanisms of enhanced total organic carbon elimination from oxalic acid solutions by electro-peroxone process. *Water Research*. 2015 Sep 1;80:20-9.
- [23] Venkatesh S, Quaff AR, Pandey ND, Venkatesh K. Decolorization and mineralization of CI direct red 28 azo dye by ozonation. *Desalination and Water Treatment*. 2016 Feb 19;57(9):4135-45.
- [24] Nawrocki J, Kasprzyk-Hordern B. The efficiency and mechanisms of catalytic ozonation. *Applied Catalysis B: Environmental*. 2010 Aug 31;99(1-2):27-42.
- [25] Tehrani-Bagha AR, Mahmoodi NM, Menger FM. Degradation of a persistent organic dye

Ozone Science & Engineering. 2003 Apr 1;25(2):137-43.

- [36] Siminghad, M., Sheshmani, S., & Shahvelayati, A. S. (2019). Application, optimisation and kinetic studies of SnO micro-square in photoinduced decolourisation of Acid Orange 7 and Acid Orange 10 under visible light irradiation. *International Journal of Environmental Analytical Chemistry*, 1-9.
- [37] Orimolade, B. O., & Arotiba, O. A. (2019). An Exfoliated Graphite-Bismuth Vanadate Composite Photoanode for the Photoelectrochemical Degradation of Acid Orange 7 Dye. *Electrocatalysis*, 10(4), 429-435.
- [38] Soares OS, Orfao JJ, Portela D, Vieira A, Pereira MF. Ozonation of textile effluents and dye solutions under continuous operation: Influence of operating parameters. *Journal of Hazardous Materials*. 2006 Oct 11;137(3):1664-73.

Modeling, optimization and kinetic investigation of Acid Orange 7 degradation using ozonation in a cylindrical reactor with recirculation flow with RSM

Mohamad Ghalebizade¹, Bita Ayati^{2*}

1 Ph.D. candidate of environmental engineering, Civil and Environmental Engineering Faculty, Tarbiat Modares University

*2. Associate Professor, Civil and Environmental Engineering Faculty, Tarbiat Modares University

Abstract

Currently tons of dye produced per year, about the one sixth tons are converted into wastewater in various industries such as textiles and dyeing, which are among the toxic, carcinogenic and mutagenic wastes due to the presence of aromatic rings in their structure. This issue has attracted a lot of attention to the purification of such compounds. Ozone is one of the strong oxidizers, which produces non-toxic compounds due to its decomposition. Ozone can convert many organic materials into simpler compounds through both direct and indirect oxidation mechanisms, including degradation of wastewater that contains double bonds components such as aromatic compounds and dyes. The purpose of this study was to investigate modeling, optimization and the interactions between parameters affecting the ozonation process in removal of Acid Orange 7 in order to achieve the highest removal efficiency for the highest possible initial dye concentration under the lowest ozone injection rate, no change in initial wastewater pH and the shortest reaction time by the use of response surface method. The RSM was performed using 4 parameters pH, initial dye concentration, ozone injection rate and time with 5 levels which ends up in 30 experimental tests.

The results showed that correlation coefficients and adjusted correlation coefficients were 96.85 and 94.92, respectively, and p-value for model (less than 0.0001) and lack of fit (0.0507) were obtained as significant and non-significant, respectively. These results indicate the consistency and high reliability of the modeling results. Normal error, error independence and variance stability control were also checked which showed that the closeness between the actual and predicted values and the uniform distribution of the results obtained on the normal line indicates the uniform distribution of the error. The results and predictions of the software, the random distribution and distribution of the results indicate the suitability of the assumption considered by the software regarding the stability of the variance. Based on variance stability control, the effect of the experiments on the responses provided by the software. If one of the experiments is outside the range, this experiment will have a negative impact on the overall results of the software. In the case of experiments performed, this control was also well performed.

Based on model equation the most important parameters are the injection rate of ozone ($Q(O_3)$), pH, reaction time (T) and initial dye concentration [Dye], respectively, in which all parameters except the initial dye concentration have a positive effect on dye removal efficiency. After the related tests the optimum condition were the initial dye concentration of 480 mg/L, pH of 7.7, ozonation rate of 0.6 L/min and ozonation duration of 60 min which resulted in 90% dye removal efficiency. It was also found that the most effective factors were injectable ozone rate, time, pH, and dye concentration, respectively. The results showed that determining the appropriate domains can be of great importance in achieving the desired results from the response surface method. Also, the ozonation process is able to purify the dye from high initial concentrations to high removal efficiency, indicating the high strength of this applied process in the decomposition of complex organic compounds. Ozonation kinetic rate is based on pseudo first order which was increased from 0.3 to 0.6 by enhancing injected ozone rate from 0.2 to 0.6 L/min respectively and further increase of ozone injection rate didn't had any effect on its kinetic rate.

Keywords: Ozonation; Acid Orange 7; CCD method; RSM; Modeling